

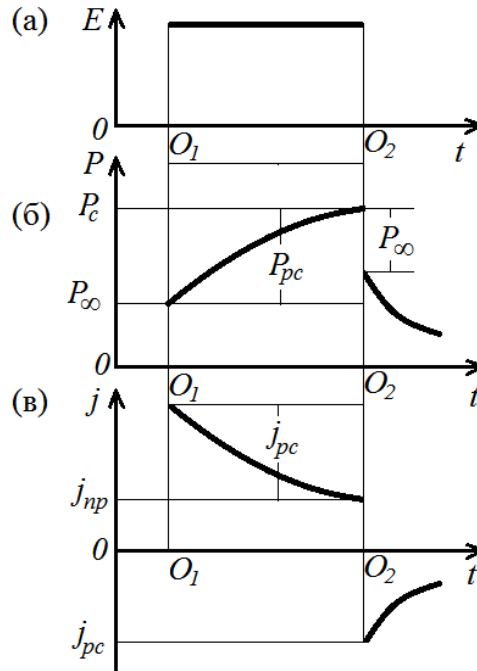
**ПОЛЯРИЗАЦИЯ НА ДИЕЛЕКТРИЦИ И ПОЛУПРОВОДНИЦИ В
ПРОМЕНЛИВО ЕЛЕКТРИЧНО ПОЛЕ. ДИЕЛЕКТРИЧНИ ЗАГУБИ.**

1. Поляризация на еднородни диелектрици при изменение на електричното поле.

Преходни процеси при включване и изключване на постоянно електрично поле.

1 етап – Безинерционна поляризация

2 етап – Релаксационна поляризация



Фигура 1. Времени зависимости на: (а) - електричното поле, (б) – поляризацията, (в) – плътността на тока.

От $P = \varepsilon_0 \cdot (\varepsilon - 1) \cdot E$:

$$P_\infty = \varepsilon_0 \cdot (\varepsilon_\infty - 1) \cdot E, \quad (1)$$

$$P_c = \varepsilon_0 \cdot (\varepsilon_c - 1) \cdot E. \quad (2)$$

$$P_{pc} = P_c - P_\infty = \varepsilon_0 \cdot (\varepsilon_c - \varepsilon_\infty) \cdot E. \quad (3)$$

$$P_p = P_{pc} \left(1 - \exp\left(-\frac{t}{\tau}\right) \right).$$

$$j_{np} = \frac{dD}{dt} = \frac{d(\varepsilon_0 E + P)}{dt} = \frac{dP}{dt}, \quad (4)$$

$$j_p = \frac{dP_p}{dt} = \frac{P_{pc}}{\tau} \exp\left(-\frac{t}{\tau}\right) = j_{pc} \exp\left(-\frac{t}{\tau}\right). \quad (5)$$

$$P_p = P_{pc} \exp\left(-\frac{t}{\tau}\right).$$

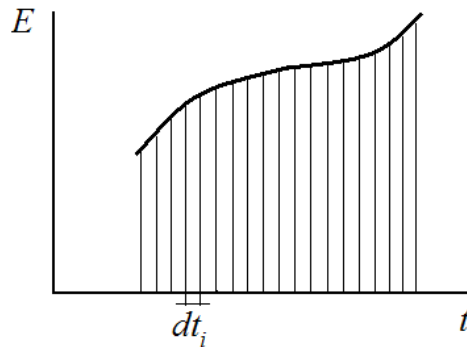
$$j_p = \frac{dP_p}{dt} = -\frac{P_{pc}}{\tau} \exp\left(-\frac{t}{\tau}\right).$$

- **Връзка между времето на релаксация и времето на „заседнал“ живот на молекула-дипол.**

$$P_p = P_{op} + P_{ep}.$$

$$\tau = \frac{\varepsilon_c + 2}{\varepsilon_\infty + 2} \tau_{жс}.$$

- **Поляризация при непрекъснато изменение на поляризиращото поле**



Фигура 2. Електрично поле, изменящо се с времето.

$$P_p(t) = \varepsilon_0 \cdot (\varepsilon_c - \varepsilon_\infty) \int_{-\infty}^t E(t_i) \exp\left(-\frac{t-t_i}{\tau}\right) \frac{dt_i}{\tau} \quad (6)$$

$$P(t) = P_\infty + P_p = \varepsilon_0 \cdot (\varepsilon_\infty - 1) E(t) + \varepsilon_0 \cdot (\varepsilon_c - \varepsilon_\infty) \int_{-\infty}^t E(t_i) \exp\left(-\frac{t-t_i}{\tau}\right) \frac{dt_i}{\tau} \quad (7)$$

- **Поляризация в синусоидално поляризиращо поле**

$$E(t) = E_m \sin \omega t.$$

$$P(t) = P_\infty + P_p = \varepsilon_0 \cdot (\varepsilon_\infty - 1) E_m \sin \omega t + \varepsilon_0 \cdot (\varepsilon_c - \varepsilon_\infty) \frac{E_m}{1 + (\omega\tau)^2} (\sin \omega t - \omega\tau \cos \omega t). \quad (8)$$

При $\omega\tau \ll 1$: $P(t) = \varepsilon_0 \cdot (\varepsilon_\infty - 1) E_m \sin \omega t + \varepsilon_0 \cdot (\varepsilon_c - \varepsilon_\infty) E_m \sin \omega t = \varepsilon_0 \cdot (\varepsilon_c - 1) E(t).$ (9)

$$P(t) = P_\infty(t) + P_p(t),$$

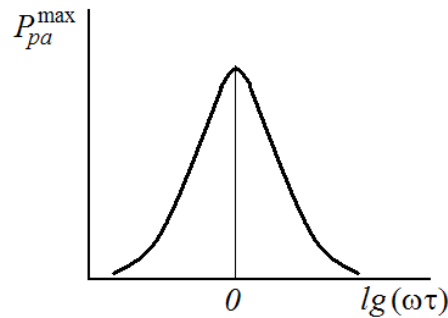
$$P_\infty = \varepsilon_0 \cdot (\varepsilon_\infty - 1) \cdot E(t), \quad (10)$$

$$P_p(t) = \varepsilon_0 \cdot (\varepsilon_c - \varepsilon_\infty) \frac{E_m}{1 + (\omega\tau)^2} (\sin \omega t - \omega\tau \cos \omega t). \quad (11)$$

- **Активна и реактивна поляризация в синусоидално поле**

$$P_{pa}(t) = \varepsilon_0 \cdot (\varepsilon_c - \varepsilon_\infty) \frac{\omega\tau}{1 + (\omega\tau)^2} E_m \cos \omega t = P_{pa}^{\max} \cos \omega t. \quad (12)$$

$$P_{pa}^{\max} = \varepsilon_0 \cdot (\varepsilon_c - \varepsilon_\infty) \frac{\omega\tau}{1 + (\omega\tau)^2} E_m. \quad (13)$$



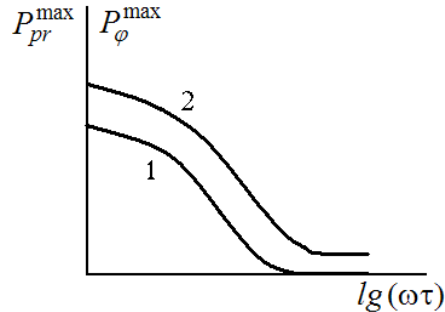
Фигура 3. Честотна зависимост на амплитудата на активната релаксационна поляризация.

При $\omega\tau < 1$:
$$P_{pa}^{\max} = \varepsilon_0 \cdot (\varepsilon_c - \varepsilon_\infty) \omega\tau E_m,$$

При $\omega\tau > 1$:
$$P_{pa}^{\max} = \varepsilon_0 \cdot (\varepsilon_c - \varepsilon_\infty) \frac{E_m}{\omega\tau},$$

$$P_{pr} = \varepsilon_0 \cdot (\varepsilon_c - \varepsilon_\infty) \frac{E_m}{1 + (\omega\tau)^2} \sin \omega t = P_{pr}^{\max} \sin \omega t. \quad (14)$$

$$P_{pr}^{\max} = \varepsilon_0 \cdot (\varepsilon_c - \varepsilon_\infty) \frac{E_m}{1 + (\omega\tau)^2}. \quad (15)$$



Фигура 4. Честотна зависимост на амплитудата на реактивната релаксационна поляризация (1) и пълната реактивна поляризация (2).

$$P_\varphi(t) = P_\infty(t) + P_{pr} = \left[\varepsilon_0(\varepsilon_\infty - 1) + \frac{\varepsilon_0 \cdot (\varepsilon_c - \varepsilon_\infty)}{1 + (\omega\tau)^2} \right] E_m \sin \omega t.$$

$$P_\varphi^{\max}(t) = \left[\varepsilon_0(\varepsilon_\infty - 1) + \frac{\varepsilon_0 \cdot (\varepsilon_c - \varepsilon_\infty)}{1 + (\omega\tau)^2} \right] E_m.$$

$$\beta = \text{arctg}(\omega\tau).$$

$$P_p(t) = P_p^{\max} \sin(\omega t - \beta).$$

2. Диелектрични загуби в диелектрици с релаксационна поляризация и проводимост.

➤ Диелектрични загуби в еднороден диелектрик за синусоидално поле

$$j = j_{\sigma} + j_{np} \quad (16)$$

$$j_{\sigma} = \sigma E = \sigma E_m \sin \omega t = \frac{\sigma V_m}{d} \sin \omega t, \quad (17)$$

$$j_{np} = \frac{dD}{dt} = \frac{d(\varepsilon_0 E + P)}{dt}, \quad (18)$$

$$j_{np} = \varepsilon_0 \frac{E_m d(\sin \omega t)}{dt} + \varepsilon_0 (\varepsilon_{\infty} - 1) \frac{E_m d(\sin \omega t)}{dt} + \frac{\varepsilon_0 (\varepsilon_c - \varepsilon_{\infty}) E_m d(\sin \omega t - \omega \tau \cos \omega t)}{1 + (\omega \tau)^2}.$$

Диференцираме, заместваме с $E_m = V_m / d$ и получаваме:

$$j_{np} = \varepsilon_0 \omega \frac{V_m}{d} \cos \omega t + \varepsilon_0 (\varepsilon_{\infty} - 1) \omega \frac{V_m}{d} \cos \omega t + \varepsilon_0 (\varepsilon_c - \varepsilon_{\infty}) \frac{V_m (\omega \cos \omega t + \omega^2 \tau \sin \omega t)}{d (1 + (\omega \tau)^2)} \quad (19)$$

$$j = j_a^{\max} \sin \omega t + j_r^{\max} \cos \omega t, \quad (20)$$

$$j_a^{\max} = \sigma \frac{V_m}{d} + \varepsilon_0 (\varepsilon_c - \varepsilon_{\infty}) \frac{\omega^2 \tau}{1 + (\omega \tau)^2} \frac{V_m}{d}, \quad (21)$$

$$j_r^{\max} = \varepsilon_0 \varepsilon_{\infty} \omega \frac{V_m}{d} + \varepsilon_0 (\varepsilon_c - \varepsilon_{\infty}) \frac{\omega}{1 + (\omega \tau)^2} \frac{V_m}{d}. \quad (22)$$

$$(j_a^{\max})_{\max} = \sigma \frac{V_m}{d} + \varepsilon_0 (\varepsilon_c - \varepsilon_{\infty}) \frac{V_m}{\tau d}.$$

$$W = \frac{1}{T} \int_0^T IV dt = \frac{1}{T} \int_0^T jSV dt \quad (23)$$

$$W = \frac{I_a^{\max} V_m}{T} \int_0^T \sin^2 \omega t dt + \frac{I_r^{\max} V_m}{T} \int_0^T \sin \omega t \cos \omega t dt.$$

$$W = \frac{I_a^{\max} V_m}{2} = \sigma S \frac{V_m^2}{2d} + \varepsilon_0 (\varepsilon_c - \varepsilon_{\infty}) \frac{S \omega^2 \tau}{1 + (\omega \tau)^2} \frac{V_m^2}{2d}.$$

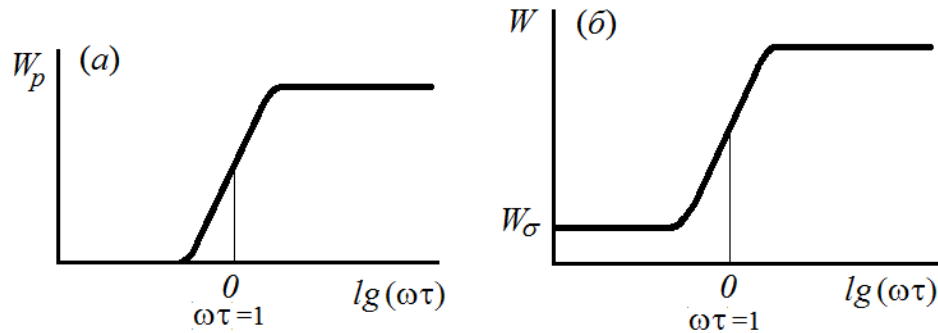
$$W = \sigma S \frac{V^2}{d} + \varepsilon_0 (\varepsilon_c - \varepsilon_{\infty}) \frac{S \omega^2 \tau}{1 + (\omega \tau)^2} \frac{V^2}{d}, \quad V = V_m / \sqrt{2} \quad (24)$$

$$W_{\sigma} = \sigma S \frac{V^2}{d} = \frac{V^2}{R} = IV, \quad (25)$$

$$R = \frac{d}{\sigma S} = \rho_v \frac{d}{S}. \quad (26)$$

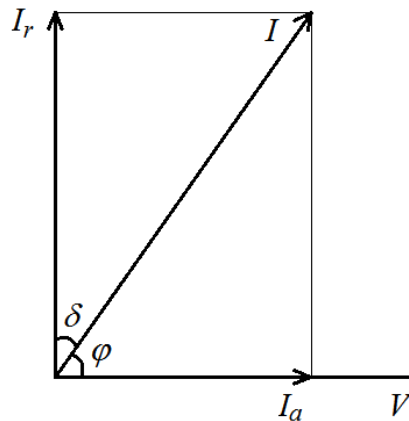
$$W_p = \varepsilon_0 (\varepsilon_c - \varepsilon_{\infty}) \frac{S \omega^2 \tau}{1 + (\omega \tau)^2} \frac{V^2}{d}, \quad (27)$$

$$\text{От: } P_{pa}^{\max} = \varepsilon_0 \cdot (\varepsilon_c - \varepsilon_\infty) \frac{\omega\tau}{1 + (\omega\tau)^2} \frac{\sqrt{2}V}{d}; \quad W_p = \frac{SV}{\sqrt{2}} P_{pa}^{\max} \omega \sim P_{pa}^{\max} \omega. \quad (28)$$



Фигура 5. Честотна зависимост на релаксационните (а) и пълните (б) загуби.

3. Тангес от ъгъла на диелектричните загуби при синусоидално поле



Фигура 6. Векторна диаграма на токовете за кондензатор със загуби.

$$W = VI \cos \varphi = VI_a = VI_r \operatorname{tg} \delta. \quad (29)$$

$$\operatorname{tg} \delta = \frac{I_a}{I_r} = \frac{I_a^{\max}}{I_r^{\max}} = \frac{j_a^{\max}}{j_r^{\max}}. \quad (30)$$

$$\operatorname{tg} \delta = \frac{\sigma + \varepsilon_0 \cdot (\varepsilon_c - \varepsilon_\infty) \frac{\omega^2 \tau}{1 + (\omega\tau)^2}}{\varepsilon_0 \varepsilon_\infty \omega + \varepsilon_0 \cdot (\varepsilon_c - \varepsilon_\infty) \frac{\omega}{1 + (\omega\tau)^2}}. \quad (31)$$

$$\text{При } \omega \rightarrow 0: \quad \operatorname{tg} \delta = \frac{\sigma}{\varepsilon_0 \varepsilon_\infty \omega} \rightarrow \infty. \quad (32)$$

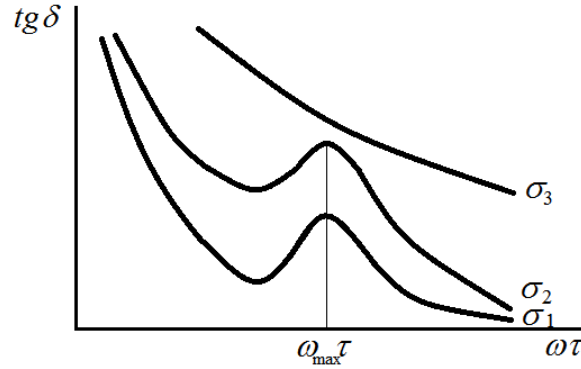
$$\text{При } \sigma \rightarrow 0: \quad \operatorname{tg} \delta = \frac{(\varepsilon_c - \varepsilon_\infty) \frac{\omega\tau}{1 + (\omega\tau)^2}}{\varepsilon_\infty + \frac{(\varepsilon_c - \varepsilon_\infty)}{1 + (\omega\tau)^2}}. \quad (33)$$

При $\omega\tau \gg 1$:

$$\operatorname{tg} \delta = \frac{(\varepsilon_c - \varepsilon_\infty)\omega\tau}{\varepsilon_c + \varepsilon_\infty(\omega\tau)^2}. \quad (34)$$

$$\omega_{\max} \tau = \sqrt{\frac{\varepsilon_c}{\varepsilon_\infty}}.$$

$$(\operatorname{tg} \delta)_{\max} = \frac{\varepsilon_c - \varepsilon_\infty}{2\varepsilon_c} \sqrt{\frac{\varepsilon_c}{\varepsilon_\infty}}.$$



Фигура 7. Честотна зависимост на $\operatorname{tg} \delta$ при различни проводимости - $\sigma_3 > \sigma_2 > \sigma_1$

4. Комплексна диелектрична проницаемост. Диаграма на Коул-Коул.

$$F = \frac{1}{4\pi\varepsilon_0\varepsilon} \frac{q_1 q_2}{r^2}. \quad (a)$$

$$D = \varepsilon_0 \varepsilon E = \varepsilon_0 E + P. \quad (б)$$

$$\varepsilon = C / C_0. \quad (в)$$

$$\langle \varepsilon = \varepsilon' - i\varepsilon'' \rangle. \quad (35)$$

$$\langle j = j_a + ij_r \rangle. \quad (36)$$

$$\langle j = \frac{d\langle Q \rangle}{dt} \rangle. \quad (37)$$

$$\langle Q \rangle = \langle \varepsilon C_0 \rangle V = \langle \varepsilon C_0 V_m e^{i\omega t} \rangle, \quad \text{като } \langle V \rangle = V_m e^{i\omega t}, C_0 = \varepsilon_0 S / d = \varepsilon_0 / d \quad (38)$$

$$\langle Q \rangle = (\varepsilon' - i\varepsilon'') C_0 V_m e^{i\omega t},$$

$$\frac{d\langle Q \rangle}{dt} = i\omega(\varepsilon' - i\varepsilon'') C_0 V_m e^{i\omega t}$$

$$\langle j \rangle = \varepsilon'' C_0 \omega V_m e^{i\omega t} + i\varepsilon' C_0 \omega V_m e^{i\omega t}.$$

$$j_a = \varepsilon'' C_0 \omega V_m e^{i\omega t}, \quad (39)$$

$$j_r = \varepsilon' C_0 \omega V_m e^{i\omega t}. \quad (40)$$

$$\operatorname{tg} \delta = \frac{j_a^{\max}}{j_r^{\max}} = \frac{\varepsilon''}{\varepsilon'}. \quad (41)$$

$$\varepsilon'' = \varepsilon' \operatorname{tg} \delta. \quad (42)$$

$$\varepsilon'' = \frac{\sigma}{\varepsilon_0 \omega} + \frac{(\varepsilon_c - \varepsilon_\infty) \omega \tau}{1 + (\omega \tau)^2}, \quad (43)$$

$$\varepsilon' = \varepsilon_\infty + \frac{\varepsilon_c - \varepsilon_\infty}{1 + (\omega \tau)^2}. \quad (44)$$

$$\operatorname{tg} \delta = \frac{\varepsilon''}{\varepsilon'} = \frac{(\varepsilon_c - \varepsilon_\infty) \omega \tau}{\varepsilon_c + \varepsilon_\infty + (\omega \tau)^2}. \quad (45)$$

$$\varepsilon'' = \frac{(\varepsilon_c - \varepsilon_\infty) \omega \tau}{1 + (\omega \tau)^2}. \quad (46)$$

$$\omega_{\max} \tau = 1. \quad (47)$$

$$\varepsilon'_{\max} = \frac{\varepsilon_c + \varepsilon_\infty}{2}, \quad (48)$$

$$\varepsilon''_{\max} = \frac{\varepsilon_c - \varepsilon_\infty}{2}. \quad (49)$$

за $\omega \tau \ll 1$, $\varepsilon' = \varepsilon_c$,

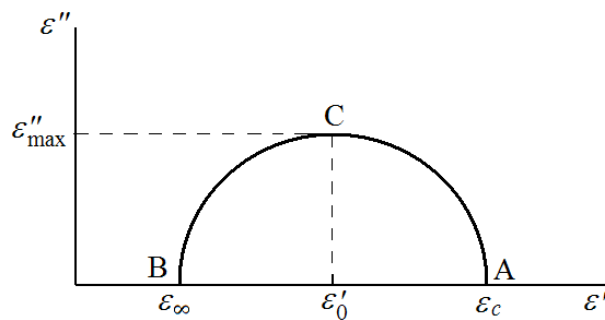
за $\omega \tau \gg 1$, $\varepsilon' = \varepsilon_\infty$.

Диаграмата на Коул-Коул:

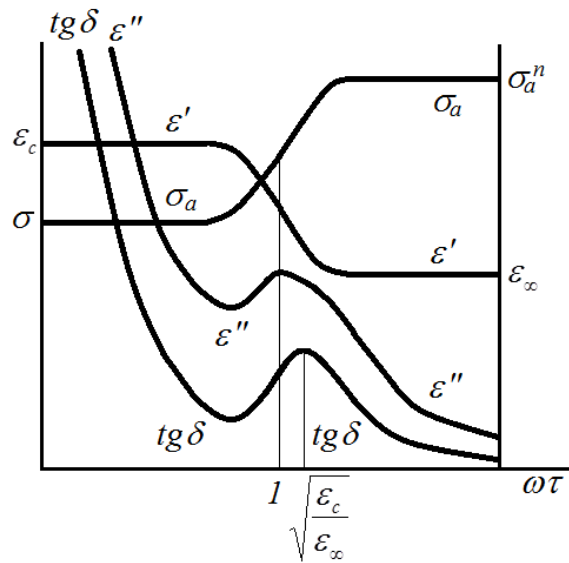
$$(\varepsilon' - \varepsilon_0')^2 + (\varepsilon'')^2 = R^2,$$

$$R = \frac{\varepsilon_c - \varepsilon_\infty}{2},$$

$$\varepsilon_0' = \varepsilon_\infty + \frac{\varepsilon_c - \varepsilon_\infty}{2} = \frac{\varepsilon_c + \varepsilon_\infty}{2}.$$



Фигура 8. Диаграма на Коул-Коул.



Фигура 9. Диелектрична дисперсия.

$$\sigma_a = \varepsilon'' \varepsilon_0 \omega = \sigma + \varepsilon_0 (\varepsilon_c - \varepsilon_\infty) \frac{\omega^2 \tau}{1 + (\omega \tau)^2}. \quad (50)$$

При $\omega \tau \gg 1$:

$$\sigma_a^n = \sigma + \varepsilon_0 (\varepsilon_c - \varepsilon_\infty) \frac{1}{\tau}$$

5. Температурна зависимост на диелектричните загуби

$$\tau = \tau_0 \exp\left(\frac{\Delta E}{kT}\right).$$